

# مطالعات ژئوشیمیایی نهشته‌های بوکسیتی - کائولینیتی پرمن

## در شمال سقز، استان کردستان

علی عابدینی<sup>\*</sup> و علی اصغر کلاگری<sup>۱</sup>

<sup>۱</sup>گروه زمین‌شناسی، دانشکده علوم، دانشگاه ارومیه، ارومیه، ایران.

<sup>۲</sup>گروه زمین‌شناسی، دانشکده علوم طبیعی، دانشگاه تبریز، تبریز، ایران.

تاریخ پذیرش: ۱۳۸۷/۱۱/۰۲

تاریخ دریافت: ۱۳۸۷/۰۹/۰۳

### چکیده

وقهه‌های رسویگذاری در مقطع زمانی پرمن در شمال سقز با توسعه عدسی‌هایی از کائنسنگ‌های بوکسیتی - کائولینیتی در درون سازند کربناتی روته همراه بوده است. در یکی از این عدسی‌های ملاحظه شده، واحد سنگ‌شناسی تشخیص داده شده است که به ترتیب از بالا شامل واحدهای: ۱) سرخ قهوه‌ای تیره، ۲) بنفش، ۳) چند رنگ، ۴) صورتی، ۵) زرد و ۶) سفید (کائولین) هستند. محاسبات شاخص هوازدگی مطلق بر روی این واحدها نشان می‌دهند که عناصر Si, Ca, Mg, Mn, P, K, Na, Sr و Ba در طی فرایندهای هوازدگی سنگ‌های بازالتی شسته و عناصر Th, U, Y, Zr, Hf, Nb, Eu, Ce, La, Co, Ni, Cr, V, Rb در توسعه نیمرخ هوازد متحمل فرایندهای شستشو - ثبت شده‌اند. نتایج بدست آمده نشان می‌دهند که فرایندهایی مانند جذب سطحی، روش و تمرکز به وسیله اکسیدهای هیدروکسیدهای آهن، پایداری کمپلکس‌های حامل فلز، تغییرات در شیمی محلول‌های هوازد کننده، حضور مواد آلی، ثبت در فازهای نوشکل (Neomorph) و حضور در فازهای کاتیایی مقاوم از جمله عواملی بوده‌اند که نقش بارزی در توزیع عناصر در این نهشته‌ها ایفا کرده‌اند.

**کلیدواژه‌ها:** بوکسیتی شدن، کائولینیتی شدن، شمال سقز، تغییرات جرم، توزیع عناصر.

E-mail: abedini2020@yahoo.com

\*ویسندۀ مسؤول: علی عابدینی

### -۱- مقدمه

منطقه مورد مطالعه، در ۱۰ کیلومتری شمال سقز، به مختصات جغرافیایی "۳۶°۳۶'، ۴۶°۱۳'، ۱۴°۲۱'، ۳۶°۴۶'، ۱۰°۱۶'، ۲۷°۳۶' تا ۲۷°۲۰'، ۴۶° طول خاوری و ۳۶° عرض شمالی، در بخش شمالی استان کردستان واقع شده است (شکل ۱). وقهه‌های رسویگذاری در مقطع زمانی پرمن در این منطقه با تشکیل افقی از عدسی‌های بوکسیتی - کائولینیتی در داخل سنگ‌های کربناتی روته همراه بوده است. تا به حال مطالعات زیادی بر روی مسایل زمین‌شناسی این عدسی‌ها توسط پژوهشگران مختلف صورت گرفته است. مطالعات زمین‌شناسی ناحیه‌ای و اکتشافات چکشی به منظور شناسایی نهشته‌های بوکسیتی - کائولینیتی در این منطقه توسط افتخارنژاد (۱۳۵۵)، Balkay & Samimi (1972) و حیری و همکاران (۱۳۸۲) انجام شده است. Eftekhar-nezhad (1973) در طی مطالعه زمین‌شناسی منطقه مهاباد، سنگ‌های آتشفسانی بازیک حاضر در سنگ‌های کربناتی روته را منشأ احتمالی این نهشته‌ها معرفی کرده است.

Kamineni & Eftekhar-nezhad (1977) و اکبرپور (۱۳۷۵) تأثیرات فرایندهای دگرگونی بر روی ترکیب کانیایی این نهشته‌های را مورد بررسی قرار داده و کانی‌های دیاسپور، بوهمیت، کرندوم، مگنتیت، هماتیت، گوتیت، روتیل، آناتاز، مونت‌موریلوبنیت، ایلیت، پیروفیلت، تالک، کائولینیت، ناکریت، دیکیت، کوارتز، فلدسپار پتاسیم، مسکوکویت، کلریت، کلریت‌پید، پلازیوکلارز، پیروکسن، هورنبلاند، شاموزیت، ژپیس، کلیسیت و فلوریت را به عنوان کانی‌های سازنده این نهشته‌ها معرفی کرده‌اند. عابدینی (۱۳۸۷)، مطالعات صحرابی، ژئوکسی، بافتی، کانی‌شناسی تجزیه‌ای - نورماتیو و ژئوشیمیایی به نسبت جامعی بر روی این نهشته‌ها انجام داده که بخشی از نتایج حاصل از این مطالعات در قالب مقاله‌ای با عنوان کانی‌شناسی و منشأ توسط عابدینی و کلاگری (۱۳۸۸) ارائه شده است. تاکنون مطالعاتی بر روی رفتار عناصر در طی فرایندهای بوکسیتی - کائولینیتی شدن در این منطقه انجام نشده است. در این مقاله با استفاده از روش‌های ژئوشیمیایی تغییرات جرم و عوامل مؤثر در تحرک و توزیع دوباره عناصر در طی تشکیل این نهشته‌ها پرداخته شده است.

### -۲- روش مطالعه

پس از پیمایش‌های لازم برای آشنایی با انواع بوکسیتی - کائولینیتی و نمونه‌گیری از انواع واحدهای سنگی حاضر، نیمرخی عمود بر یک عدسی بوکسیتی - کائولینیتی قطع شده توسط جاده که پیشترین تغییرات را از نظر ویژگی‌های ظاهری کائنسنگ‌ها شامل سختی، چگالی، رنگ و بافت نشان می‌داد، برای نمونه برداری سیستماتیک انتخاب شد (شکل ۱). پس از نمونه‌گیری، ۹ نمونه از کائنسنگ‌های بوکسیتی - کائولینیتی و ۱ نمونه از سنگ مادر احتمالی انتخاب و به روش طیف‌سنجی جرمی پلاسمای جفت شده القایی (ICP-MS) در آزمایشگاه شرکت Chemex کشور کانادا تجزیه شدند (جدول ۱).

### -۳- زمین‌شناسی

بارزترین واحدهای سنگی حاضر در منطقه مورد مطالعه به ترتیب کهنه به نو شامل سازندهای شیلی - ماسه‌سنگی لالون (کامبرین زیرین)، دولومیتی چرتی و آهکی میلا (کامبر - اردوبوسین)، کربناتی روته (پرمن میانی - بالایی)، شیلی، ماسه‌سنگی و آتشفسانی شمشک (ژوراسیک)، کربناتی، آتشفسانی، شیلی و ماسه‌سنگی کرتاسه، آهکی قم (میوسن) و نهشته‌های عهد حاضر هستند (شکل ۱). در این منطقه سنگ‌های آهکی دولومیتی و دولومیتی به شدت بلورین شده روته حاوی افقی از عدسی‌های بوکسیتی - کائولینیتی جدا هستند. از نظر هندسی، این عدسی‌ها با دو روند کلی N-S و NW-SE، سمترا بر متغیر از ۰/۵ تا ۷۰ متر، شیبی متغیر از ۲۵ تا ۷۰ درجه و در مجموع طولی بالغ بر ۴ کیلومتر هستند. در نیمرخ مورد بررسی، بر روی یکی از عدسی‌ها به ترتیب از پایین به بالا واحدهایی به رنگ: ۱) سرخ قهوه‌ای تیره، ۲) بنفش، ۳) چند رنگ، ۴) صورتی، ۵) زرد و ۶) کائولن (سفید رنگ) شناسایی شده‌اند (شکل ۲). وجود مرزهای کاملاً مشخص میان عدسی‌های بوکسیتی - کائولینیتی با سنگ‌های درونگیر، آثاری از سنگ‌های بازالتی در همراهی عدسی‌ها با سنگ‌های درونگیر کمر پایین، وجود مواد آلی در بخش‌های بالای نیمرخ، وجود اشکال گرهکی جهت افه در اثر تشی‌های ساختمانی و سطح شکست صدفی در سطح کائنسنگ‌های صورتی، وجود گرهک‌های آهن‌دار، اکسایش برون‌زاد، لیمونیت‌زایی و سطح شکست

خارج از این محدوده به عنوان شاخص کاهش با افزایش جرم عناصر در نظر گرفته شده‌اند.

با در نظر گرفتن ملاحظات بالا و با توجه به نتایج به دست آمده از محاسبات تغییرات جرم عناصر (شکل ۴)، رفتار ژئوشیمیابی عناصر طی فرایندهای هوازدگی را در نیمرخ مورد مطالعه می‌توان در ۳ دسته کلی گروه‌بندی کرد:

۱- عناصر شسته شده- ثبت شده: Al, Fe, Ti, Rb, V, Cr, Ni, Co, La, Ce, Pr, Sm, Eu

۲- عناصر تهی شده: Ba, Na, K, P, Mn, Mg, Ca, Sr, Si و Lu در فرایندهای بوکسیتی شدن از نیمرخ هوازدگی خارج شده‌اند.

۳- عناصر غنی شده: Tm, Th, U, Y, Nb, Hf, Zr, Tb, Dy, Ho, Er و Yb در کل نیمرخ هوازدگی با افزایش جرم همراه شده‌اند.

## ۶- بحث و بررسی

### ۶.۱. عامل کنترل گننده تغییرات عناصر طی بوکسیتی- کانولینیتی شدن

#### (الف) عناصر شسته شده- ثبت شده

**عناصر اصلی:** با توجه به بررسی‌های کانی‌شناسی، Al این سامانه هوازدگی احتمالاً به طور چیره از راه دگرسانی و هوازدگی فلدسپارها تأمین شده است. Al بجز در واحد بوکسیت زرد در بقیه واحدها با افزایش جرم همراه بوده است (شکل ۴-a). کاهش جرم آن طی تکوین واحد بوکسیت زرد احتمالاً به دلیل حمل این عنصر توسط کمپلکس‌های با منشأ آلی رخ داده است (Dupre et al., 1999). Ti در کلیه واحدها بجز واحدهای بنفش و سرخ قهقهه‌ای تیره با غنی شدگی همراه بوده است (شکل ۴-a). غنی شدگی Ti در نیمرخ، احتمالاً در نتیجه شکسته شدن کانی‌های ایلمینیت و پیروکسن و ثبت آن به صورت کانی‌های روتیل و آناناتز رخ داده است. پیروکسن نوع اوژیتی به طور تبیک حاوی  $\text{TiO}_2$  تا  $0.8\%$  در صد وزنی است (Deer et al., 1992). کمپلکس‌های آلی به احتمال، عامل اصلی انتقال و در نتیجه کاهش جرم Ti در دو واحد بوکسیت بنفش و سرخ قهقهه‌ای تیره بوده‌اند (Viers et al., 2000). بررسی تغییرات جرم  $\text{Fe}_2\text{O}_3$  نشان می‌دهد که از بخش‌های بالای شسته (تهی شدگی) و در بخش‌های زیرین ثبت (غنی شدگی) شده است (شکل ۴-a). با در نظر گرفتن کانی‌شناسی سنگ‌های مادر، منشأ این سامانه‌های بازماندی، اکسایش پیریت‌ها، دگرسانی و هوازدگی ایلمینیت‌ها، اوژیت‌ها، هورنبلاندتها و الیوین‌ها بوده است. با توجه به پیوژگی‌های فیزیکی واحدهای بوکسیتی- کانولینیتی مبنی بر حضور مواد آلی بیوژه در بخش‌های بالای نیمرخ، تشکیل کمپلکس‌های آلی به همراه تفوڑ محلول‌های هوازدگی کننده اسیدی به دلیل اکسایش پیریت، باعث خروج آهن از بخش‌های بالای نیمرخ شده است. ایجاد شرایط کاهیدگی (احیایی) محلی در نتیجه اکسایش مواد آلی عامل تشدید کننده دیگری بوده است که باعث خروج Fe از بخش‌های بالایی نیمرخ شده است (Mameli et al., 2007). با در نظر گرفتن نحوه توزیع Fe به نظر می‌رسد محلول‌های هوازدگی کننده اسیدی با تزدیک شدن به سنگ‌های بستر کربناتی و مصرف  $\text{H}^+$  و افزایش pH موجبات نهشت Fe در واحدهای زیرین این نیمرخ را فراهم کرده‌اند.

**عناصر جزئی و خاکی کمیاب:** عناصر Ni و Co اگرچه می‌توانند به شدت به وسیله اکسیدهای آهن (هماتیت) جذب سطحی شوند ولی این جذب باسته به pH بوده و در شرایط pH بایین (محیط اسیدی) ضعیف‌تر است (Sparks, 1995). توزیع عناصر V و Cr نیز می‌تواند در تشکیلات لاتریتی در ارتباط با اکسیدها و هیدروکسیدهای آهن باشد (Marques et al., 2004).  $\text{Cr}^{3+}$  و  $\text{V}^{+3}$  به راحتی می‌توانند جایگزین  $\text{Fe}^{3+}$  در شبکه کانی‌های هماتیت و گوئیت شوند (Schwertmann and Pfaff, 1996). با توجه به مسایل مطرح شده در بالا، به نظر می‌رسد افزایش جرم این عناصر (ثبت آنها) در

کونکوییدال در کانسنگ‌های سرخ قهقهه‌ای تیره، تلفیقی از رنگ‌های سبز تیره، سرخ، زرد، قهوه‌ای، سبز فسفری، قهوه‌ای سوخته و سیاه برای بوکسیت‌های چند رنگ همراه با سطح شکست صدفی و حضور شکل‌های اسفو روییدی از مهم‌ترین ویژگی‌های زمین‌شناسی این نهشته‌ها است.

## ۴- سنگ‌نگاری سنگ‌های بازالتی

تعیین نوع و کانی‌شناسی سنگ مادر یک نهشته بوکسیتی- کانولینیتی برای محاسبات تغییرات جرم در طی فرایندهای هوازدگی بسیار ضروری است. بررسی ژئوشیمی عناصر بی تحرک بر روی این نهشته‌ها توسط عابدینی و کلاگری (۱۳۸۸) نشان می‌دهد که سنگ‌های بازالتی واقع در بخش زیرین عدسی‌های بوکسیتی- کانولینیتی- هورنبلاند و کلاگری احتمالی ترین سنگ مادر این نهشته‌ها است. با توجه به مطالعات میکروسکوپی سنگ‌های بازالتی حاوی بافت‌های پوروفیری، هیالومیکرولیتی پوروفیری و هیپایدیومورف گرانولار و از نظر کانی‌شناسی به ترتیب فراوانی شامل درشت‌بلورهای پلاژیوکلاز (شکل ۳)، هورنبلاند و کانی‌های فرومیزین هستند. درشت‌بلورهای پلاژیوکلاز به طور بخشی به اگرگات‌های ریزدانه کلریت، سرسیست، پیوست و در مقادیر کمتر کلیست دگرسان شده‌اند. درشت‌بلورهای هورنبلاند نیز همچون درشت‌بلورهای پلاژیوکلاز، دگرسان و به طور بخشی و گاه به صورت کامل به کلریت، کلیست، اسفن و کانی‌های کدر تبدیل شده‌اند. درشت‌بلورهای فرومیزین در این سنگ‌ها شامل کانی‌های اوژیت و الیوین هستند. کانی‌های کدر که به صورت افسان و پراکنده در این سنگ‌ها حضور دارند، تقریباً  $3\% \sim 8\%$  حجم کل این سنگ‌ها را تشکیل می‌دهند و شامل مجموعه‌ای از کانی‌های پیریت ( $7\% \sim 24\%$ ) و ایلمینیت ( $3\% \sim 1\%$ ) هستند.

## ۵- محاسبات تغییرات جرم عناصر

در این مطالعه با در نظر گرفتن سنگ‌های بازالتی به عنوان سنگ مادر احتمالی، از فرمول شاخص هوازدگی مطلق Nesbitt & Markovics (1997) (Absolute Weathering Index, AWI) محاسبات تغییر جرم عناصر در طی فرایندهای بوکسیتی- کانولینیتی شدن در نیمرخ مورد مطالعه استفاده شده است:

$$\% \text{AWI} = [(E_{\text{sample}} / I_{\text{sample}}) / (E_{\text{parent material}} / I_{\text{parent material}}) - 1] \times 100$$

در فرمول یادشده، E و I به ترتیب عنصر مورد نظر در نمونه بوکسیتی و عنصر شاخص بی تحرک را نشان می‌دهند. از آنجایی که عناصری مانند Nb, Al, Th و Hf در فرایندهای هوازدگی به عنوان عناصر بی تحرک عمل می‌کنند، در نیمرخ‌های هوازدگی به عنوان عناصر شاخص بی تحرک مورد استفاده قرار می‌گیرند (Wimpenny et al., 2007). گرچه، عناصر یادشده تحت شرایط خاص طی فرایندهای هوازدگی می‌توانند دچار تحرک شوند (Braun et al., 2005). بررسی‌های انجام شده بر روی نحوه توزیع عناصر یادشده در نیمرخ مورد مطالعه نشان می‌دهد که مقادیر این عناصر بیشتر در بازه به نسبت گستره‌ای متغیر هستند (جدول ۲). بنابراین، انتخاب یکی از عناصر یادشده به عنوان عنصر حفظ شده برای محاسبات تغییرات جرم عناصر منطقی به نظر نمی‌رسد. بنابراین، برای رفع این مشکل، بنا به نظر Van Der Weijden & Van Der Weijden (1995) از هیچ عنصری به عنوان عنصر بی تحرک برای این محاسبات استفاده نشد و فرمول یادشده به شکل زیر تغییر داده شد:

$$\% \text{Change} = 100 \times [(E_{\text{sample}} / E_{\text{precursor}}) - 1]$$

لازم به یادآوری است که در صورتی می‌توان از فرمول یادشده برای محاسبه تحرک و غنی شدگی عناصر استفاده کرد که محدوده تهی شدگی و غنی شدگی مازان  $+2\%$  تا  $-2\%$  را با عنوان محدوده عدم قطعیت در نظر بگیریم. بنابراین، در این مطالعه تنها مقادیر Van Der Weijden & Van Der Weijden, (1995)

زیرین نیمرخ شده‌اند. Th در محیط‌های بسیار اسیدی، تحرک پیشتری دارد (Taboada et al., 2006). با توجه به غنی‌شدگی این عنصر در واحدهای بالایی چنین استنباط می‌شود که شرایط pH طی تکوین این واحدها خیلی اسیدی نبوده و این عنصر احتمالاً "توسط کانی‌های رسی" (Hudson et al., 1999) تثبیت شده است. با در نظر گرفتن شرایط قلیایی در تکوین واحدهای زیرین، به نظر می‌رسد که به طور مشابه، هیدروکسیدها و اکسیدهای آهن عامل اصلی تثبیت این عنصر بوده باشند (Murakami et al., 1997). افزایش جرم عناصر Zr، Hf و Nb در نیمرخ (شکل ۴-۵) به صورت نامنظم روی داده است. عناصر یادشده در این نیمرخ به‌احتمال، در کانی زیرکن حضور داشته و یا توسط اکسیدهای تیتانیم (روتیل و یا آناتاز) تثبیت شده‌اند (Muggler, 1998). با توجه به افزایش جرم Y همراه با Zr در نیمرخ (شکل ۴-۶) به نظر می‌رسد که Y در شبکه کانی زیرکن حضور دارد (Henderson, 1984). تشابه خیلی زیاد در الگوی تغییرات جرم عناصر Tb، Dy، Ho، Er و Tm (شکل ۴-۷) با الگوی تغییرات جرم Fe (شکل ۴-a) حکایت از آن دارد که کانی‌های Fe دار یکی از عوامل مهم کنترل‌کننده توزیع REE‌ها در این نهشته‌ها هستند.

## ۷- نتیجه‌گیری

عدسی‌های بوکستی-کانولینیتی پرمین در شمال سقز در داخل سازند کربناتی به‌شدت بلورین روته توسعه و تکامل یافته‌اند. از نظر هندسی، این عدسی‌ها با دو روند کلی NW-SE و N-S، سبرای متغیر از ۹/۰ تا ۹ متر و در مجموع طولی بالغ بر ۴ کیلومتر دارند. در نیمرخ مورد بررسی بر روی یکی از عدسی‌ها به ترتیب از پایین به بالا واحدهایی به رنگ: (۱) سرخ قهوه‌ای تیره، (۲) بنفش، (۳) چند رنگ، (۴) صورتی، (۵) زرد و (۶) سفید (کانولین) تشخیص داده شده‌اند. نتایج حاصل از محاسبات شاخص هوازدگی مطلق نشان از خروج شدید عناصر قلیایی و قلیایی خاکی از سنگ‌های مادر بازالتی طی تکوین واحدهای یادشده دارند. بررسی‌های انجام شده نشان می‌دهند که توزیع کانی‌های Fe دار در سامانه هوازدگی نقش بسیار مهمی در توزیع عناصر Co، Cr، V، Ni، U، Th و REE‌ها در این نهشته‌ها داشته است. با توجه به نتایج به دست آمده به‌نظر می‌رسد که افزون بر رویش و تمرکز عناصر توسط اکسیدهای و هیدروکسیدهای آهن، تغییرات در شیمی محلول‌های هوازدگی کننده (افراش pH)، فرایندهای جذب سطحی توسط کانی‌های رسی، حضور در فازهای مقاوم و تثبیت در فازهای نوشکل، از جمله عواملی بوده‌اند که نقش بسیار ارزشمندی در غنی‌شدگی عناصر در نیمرخ مورد مطالعه ایفا کرده‌اند.

## سپاسگزاری

نگارنده‌گان، از داوران محترم برای ارائه پیشنهادات ارزشمند در راستای ارتقای علمی این مقاله تشکر می‌کنند.

این سامانه هوازدگی (شکل ۴-d) توسط کانی‌های هماتیت و گوتیت مهم‌ترین عامل کنترل‌کننده توزیع آنها بوده باشد. حاکم بودن شرایط قلیایی در شکل گیری بخش‌های زیرین نیمرخ مورد مطالعه، با افزایش میزان رسوبگذاری آهن به صورت کانی‌های هماتیت و یا گوتیت، شرایط مناسب برای جذب ترجیحی پیشتر این عناصر توسط این کانی‌ها فراهم کرده است

(Laskou & Economou-Eliopoulos, 2007). کاهش جرم Rb در تشکیل نیمرخ مورد مطالعه (شکل ۴-c) بدلیل دگرسانی فلدسپارهای سنگ‌های مادر و آزاد شدن آن به محلول‌های هوازدگی آن (شکل ۴-c) "احتمالاً" بدلیل جذب سطحی توسط ژل‌های کانولینیتی صورت گرفته است (Plank & Langmuir, 1988). با توجه به شباهت نسبی در الگوی تغییرات جرم عناصر La، Ce، Pr، Nd، Sm، Eu و Gd (شکل ۴-f) با الگوی تغییرات جرم Fe (شکل ۴-a) در نیمرخ، چنین تصور می‌شود که کانی‌های Fe در نیمرخ، (scavenger) نقش آشکاری در الگوی توزیع REE‌ها در این نهشته‌ها ایفا کرده‌اند.

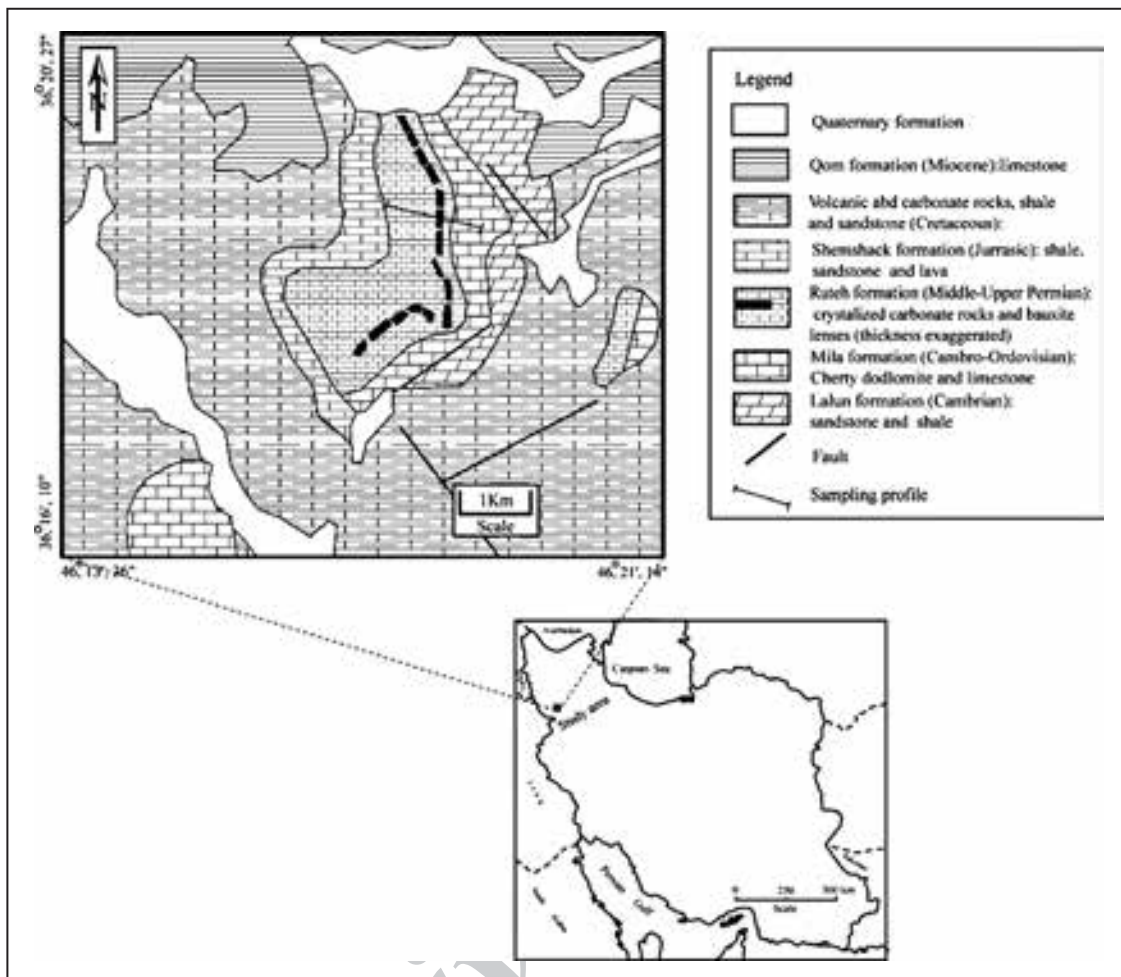
### ب) عناصر تھی شده

- **عناصر اصلی و فرعی:** کاهش جرم Si در نیمرخ مورد مطالعه (شکل ۴-a) احتمالاً نتیجه کانولینیتی شدن و یا مسکوویتی شدن فلدسپارها و به دنبال آن تبدیل کانولینیت به گیسیت و خروج اسید سیلیسیک از سامانه بازماندی رخ داده است (Karadag et al., 2009). با توجه به کانی شناسی سنگ‌های مادر این نهشته‌ها، کاهش جرم عناصر Na، Ca و K (شکل ۴-b) در نتیجه تخریب فلدسپارها در سامانه‌های واکنشی آب-سنگ صورت گرفته است. کاهش جرم Mn و Mg در نیمرخ هوازدگی (شکل ۴-b) در نتیجه شکسته شدن کانی‌های فرومیزین و کاهش جرم P (شکل ۴-b) در نتیجه تخریب آپاتیت‌های سنگ‌های مادر رخ داده است (Gouveia et al., 1993). محلول‌هایی که باعث آزاد شدن عناصر قلیایی از کانی‌های سنگ‌های مادر شده‌اند به‌احتمال، غنی از اسیدهای کربنیک و هومیک بوده‌اند (Karadag et al., 2009).

- **عناصر جزئی و کمیاب خاکی:** کاهش جرم عناصر Sr و Ba در تشکیل کلیه واحدهای نیمرخ هوازدگی (شکل ۴-c) می‌تواند دلیلی بر دگرسانی فلدسپارهای سنگ‌های مادر و آزاد شدن عناصر یادشده به محلول‌های هوازدگی کننده باشد (Plank & Langmuir, 1988). به نظر می‌رسد که رخدادهایی حتی حضور اسید‌سولفوریک حاصل از اکسایش پیریت‌ها توانسته است Ba را در سامانه تثبیت کند. کاهش Lu از بخش‌های بالایی نیمرخ هوازدگی (شکل ۴-g) می‌تواند بدلیل حاکم بودن شرایط اسیدی و انتقال این عنصر توسط محلول‌های هوازدگی کننده با ماهیت pH پایین به بخش‌های زیرین رخ داده باشد (Patino et al., 2003). هر چند این عنصر از بخش‌های زیرین نیز به دلیل تشکیل کمپلکس‌های پایدار کربناتی خارج شده است (شکل ۴-g).

### ج) عناصر غنی شده

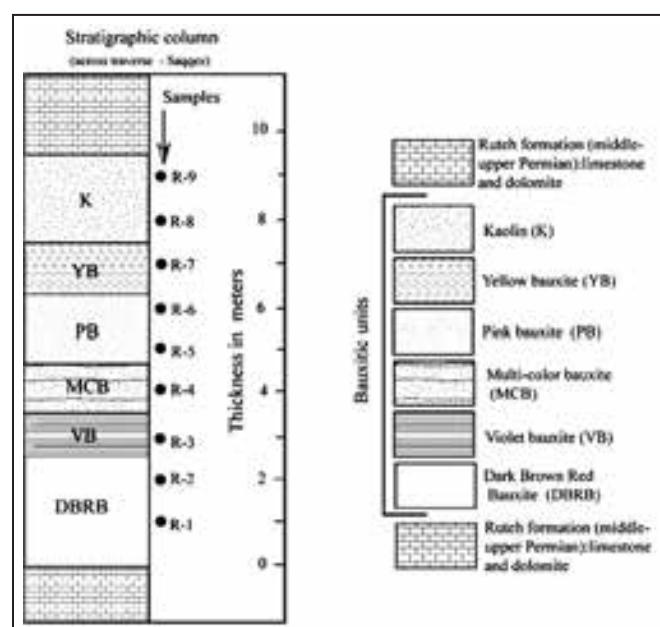
- **عناصر جزئی و کمیاب خاکی:** روند تغییرات جرم عناصر U و Th در نیمرخ مورد مطالعه به صورت نامنظم و افزایشی است (شکل ۴-c). با توجه به کانی شناسی نهشته‌های مورد مطالعه، غنی‌شدگی U در واحدهای بالایی به دلیل جذب سطحی آن به‌وسیله کانی‌های رسی (Barnett et al., 2000) و در بخش‌های زیرین به‌دلیل رویش و تمرکز توسط اکسیدهای و یا هیدروکسیدهای آهن رخ داده است (Taboda et al., 2006). از آنجایی که در محیط‌های قلیایی، فازهای اکسیدان U مانند  $\text{UO}_2^{2+}$  خیلی محلول هستند، بنابراین شرایط قلیایی نمی‌تواند تنها عامل مؤثر در نهشت U در بخش‌های زیرین نیمرخ باشد. برخی مطالعات پیشنهاد می‌کنند که  $\text{CeO}_2$  ممکن است به عنوان سایت‌های هسته‌گذاری عمل کند و باعث نهشت U در سامانه‌های بازماندی شود (Koppi et al., 1996). به‌احتمال، افزون بر اکسیدهای و هیدروکسیدهای آهن، چنین سازوکارهایی نیز باعث نهشت U در بخش‌های www.SID.ir



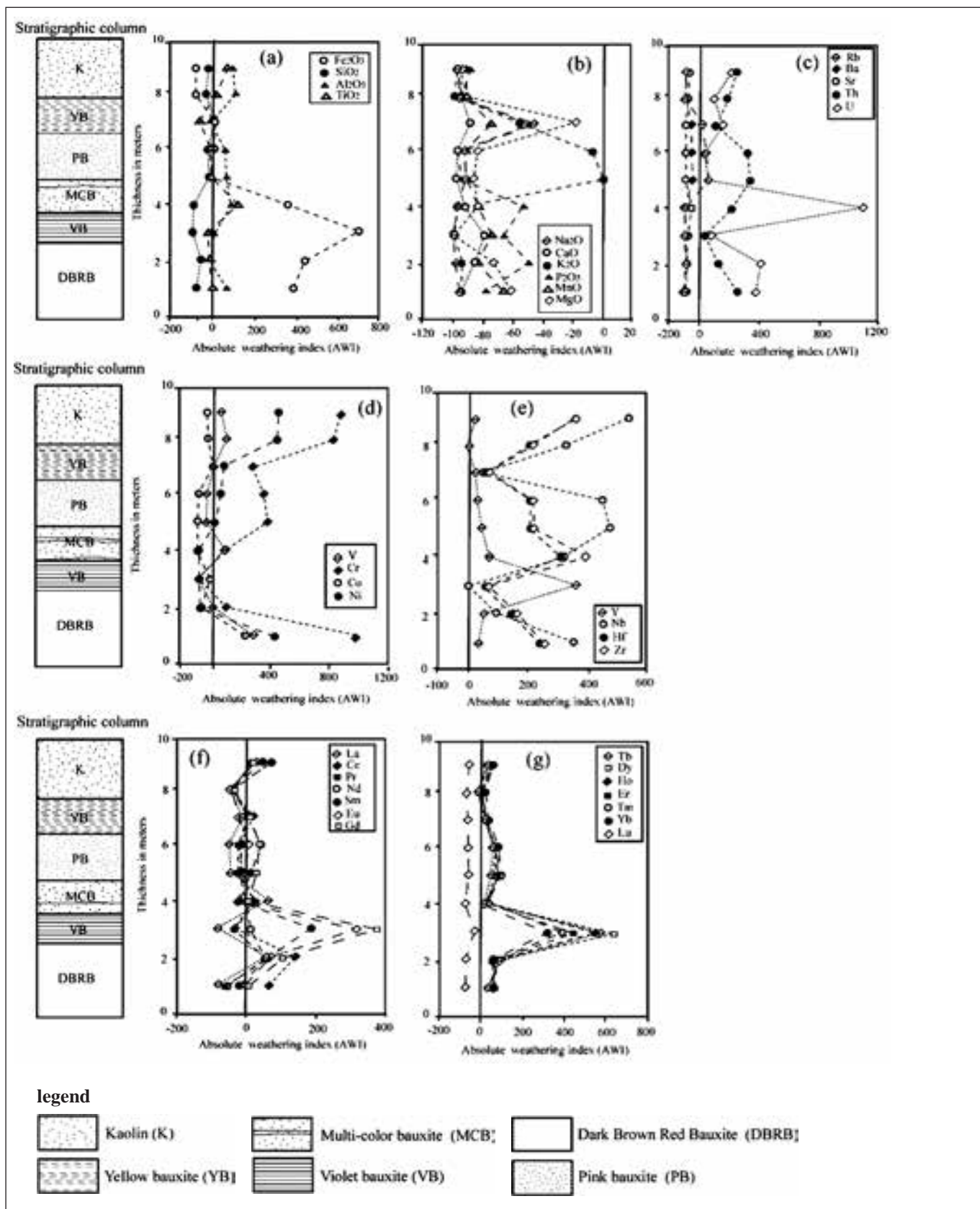
شکل ۱- نقشه زمین شناسی منطقه مورد مطالعه (نقشه پایه از افتخارتزاد، ۱۳۵۵).



شکل ۲- تصویر میکروسکوپی از سنگ مادر بازالتی. نور آبلیغ = Plg.



شکل ۲- ستون چیزه‌شناسی نیمعرخ مورد مطالعه (به شکل ۱ مراجعه شود) در نهشته‌های بوکسیتی- کانولینیتی سفر که در آن محل نمونه‌های برداشت شده برای انجام تجزیه‌های ژئوشیمیایی با دوازیر توپر نشان داده شده‌اند.



شکل ۴- الگوی تغییرات جرم عناصر طی تکوین کائسنسگ های بوکسیتی- کانولینیتی نیمرخ مورد مطالعه.

جدول ۱- نتایج تجزیه‌های شیمیایی ICP-MS عناصر اصلی، فرعی، جزئی و خاکی کمیاب کانسنگ‌های بوکسیتی-کانولینیتی نمرخ مورد مطالعه. مقادیر اکسیدها و LOI بر حسب درصد وزنی و مقادیر عناصر جزئی و خاکی کمیاب بر حسب ppm هستند.

	Basalt	R-1	R-2	R-3	R-4	R-5	R-6	R-7	R-8	R-9
SiO <sub>2</sub> , Wt%	52.90	12.9	24.1	1.40	6.23	41.1	40.2	57.2	34.2	38.7
Al <sub>2</sub> O <sub>3</sub>	20.4	31.4	19.6	21.6	38.9	33.9	32.0	18.35	43.1	40.2
Fe <sub>2</sub> O <sub>3</sub>	8.01	38.7	43.5	64.8	36.8	6.75	8.84	8.83	1.60	0.99
CaO	6.03	0.37	0.87	1.27	0.46	0.15	0.25	0.07	0.30	0.14
MgO	2.49	0.98	0.68	0.02	0.41	0.34	0.42	2.06	0.14	0.15
Na <sub>2</sub> O	3.97	0.20	0.12	0.03	0.12	0.36	0.29	2.15	0.16	0.06
K <sub>2</sub> O	3.66	0.39	0.50	0.05	0.21	8.10	7.52	3.56	0.05	0.17
Cr <sub>2</sub> O <sub>3</sub>	0.01	0.08	0.05	0.04	0.07	0.03	0.03	0.03	0.05	0.05
TiO <sub>2</sub>	0.18	3.09	2.58	2.50	6.85	3.09	2.72	1.18	3.53	5.14
MnO	0.12	0.04	0.02	0.03	0.02	0.01	0.01	0.03	0.01	0.01
P <sub>2</sub> O <sub>5</sub>	0.36	0.08	0.18	0.12	0.17	0.02	0.01	0.18	0.02	0.04
SrO	0.11	0.01	0.01	0.03	0.04	0.01	0.01	0.01	0.02	0.03
BaO	0.10	0.01	0.02	0.01	0.01	0.06	0.05	0.05	0.01	0.01
LOI	1.19	9.85	7.93	7.70	9.72	9.35	6.58	5.72	15.0	14.10
Total	100	98.1	100.16	99.4	100.01	100.27	98.93	99.42	98.19	99.98
Co, ppm	891	56.6	9.8	16.4	1.2	1.8	2.6	18.4	13	12.9
Cr	17.3	43.0	8.0	1.0	8.0	19.0	18.0	15.0	37.0	39.0
Hf	20.1	13	9.4	6.1	16.2	12	11.8	6.5	12.1	17.9
Nb	3.8	71.1	30.2	16.3	66.7	9.01	8.69	24.2	6.86	10.25
Ni	15.6	179	11	7	5	42	56	60	18.2	18.7
Pb	34	15	39	9	22	6	6	11	8	11
Sr	2	11.6	142	28.9	47.1	143	117.5	91.7	19.7	22.5
Th	0.9	25.4	16.1	9.58	22.8	31.7	30.4	14.9	27	25
U	7.29	12	12.75	8.53	30.3	2.92	3.20	6.07	4.98	7.78
V	2.54	74.5	21.0	43	36.0	131	138	22.6	3.83	31.2
Y	191	33.7	37.8	112	42.6	36.3	32.7	31.7	24.6	31.1
Zn	24.2	72	56	185	34	40	26	8.6	44	56
Zr	1.9	47.7	35.7	23.9	66.6	44.3	43.9	22.9	44.6	63.5
Ba	135	42.6	197.5	31.3	93	49.8	43.7	42.6	34.1	41.1
Rb	15	10.4	15.2	1.9	5.8	16.5	14.5	12.4	1	5
La, ppm	40.8	7.9	62.4	8.4	64.6	22	20.3	36.8	21.9	53.9
Ce	64.3	1.7	104.0	45.0	78.7	55.3	53.2	78.6	44.9	112
Pr	8.34	3.26	13.25	5.63	10.6	6.25	6.56	8.49	4.86	14.9
Nd	31.5	15.1	49.1	35.0	32.5	25.8	28	32.1	19.2	55.3
Sm	6.28	5.1	10.6	1.2	5.32	7.33	9.03	6.62	4.13	9.21
Eu	1.19	1.76	3.17	7.77	1.43	1.77	1.97	1.4	1.12	2.06
Gd	5.19	6.21	11.8	27.8	5.97	7.42	7.92	6.27	3.75	9.78
Tb	0.16	1.2	1.67	5.75	0.97	1.23	1.29	0.97	0.66	0.98
Dy	4.73	7.82	9.19	34.7	6.28	7.58	7.65	5.68	4.45	5.71
Ho	0.95	1.57	1.84	6.1	1.3	1.58	1.52	1.18	0.9	1.21
Er	2.74	4.56	4.34	14.7	3.57	4.9	4.9	2.44	2.74	3.71
Tm	0.39	0.65	0.62	1.88	0.46	0.73	0.67	0.5	0.41	0.55
Yb	2.57	4.23	4.03	10.70	2.99	4.93	4.48	2.32	2.83	3.72
Lu	0.39	0.59	0.60	1.39	0.43	0.74	0.66	0.50	0.42	0.55

جدول ۲- محدوده تغییرات عناصر بی تحرک در نیمروز مورد مطالعه. مقادیر اکسیدها بر حسب درصد وزنی و مقادیر عناصر جزئی بر حسب ppm است.

Area	Element	Minimum	Maximum	Range of changes
Saqqez	Al <sub>2</sub> O <sub>3</sub>	۱۸/۳۵	۴۳/۱۱	۲۴/۷۶
	TiO <sub>2</sub>	۱/۱۸	۶/۸۵	۵/۶۷
	Hf	۶/۱	۱۷/۹	۱۱/۸
	Nb	۱۶/۳	۱۰۲/۵	۸۶/۲
	Th	۹/۵۸	۲۱/۷	۲۲/۱۲
	Zr	۲۲۹	۶۶۶	۴۳۷

### کتابنگاری

افتخارنژاد، ج.، ۱۳۵۵- نقشه زمین شناسی مهاباد به مقیاس ۱:۴۵۰۰۰۰. انتشارات سازمان زمین شناسی و اکتشافاتمعدنی کشور.

اکبرپور، ا.، ۱۳۷۵- بررسی زمین شناسی اقتصادی بوکسیت های منطقه سقز. رساله کارشناسی ارشد زمین شناسی دانشگاه آزاد واحد تهران شمال، ۲۱۰ ص.

حریری، ع.، فرجندی، ف.، واعظی پور، م.، صادقی، ا.، ۱۳۸۲- گزارش شرح نقشه زمین شناسی ۱:۱۰۰۰۰۰ سقز. سازمان زمین شناسی و اکتشافاتمعدنی کشور.

عبدالینی، ع.، ۱۳۷۷- بررسی کانی شناسی، ژئوشیمی و ژئونهشتۀ های بوکسیتی- لاتریتی پرمین تا تربیاس در شمال غرب ایران. رساله دکتری گروه زمین شناسی دانشگاه تبریز، ۱۸۴ ص.

عبدالینی، ع.، کلاگری، ع.ا.، ۱۳۸۸- کانی شناسی و خاستگاه نهشتۀ های بوکسیتی پرمین در شمال سقز، استان کردستان. مجله بلورشناسی و کانی شناسی ایران، سال هفدهم، شماره ۴، ص ۵۱۸-۵۰۳.

### References

- Balkay, B. & Samimi, M., 1972- Geological investigations of Iranian bauxites and other high-alumina materials. Geological survey of Iran. Internal report.
- Barnett, M., Jardine, P. M., Brooks, S. C. & Selim, H. M., 2000- Adsorption and transport of U (VI) in subsurface media. Soil Science Society of America Journal 64, 908-914.
- Braun, J. J., Ngoupayou, J. R. N., Vires, J., Dupre, B., Bedimo, J. P. B., Boeglin, J. L., Robain, H., Nyeck, B., Freydier, R., Nkamdjou, L. S., Rouiller, J. & Muller, J. P., 2005- Present weathering rates in a humid tropical watershed: Nsimi, South Cameroon. Geochimica et Cosmochimica Acta 69, 357-387.
- Cantrell, K. J. & Byrne, R. H., 1987- Rare earth element complexation by carbonate and oxalate ions. Geochimica et Cosmochimica Acta 51, 597-605.
- Deer, W. A., Howie, R. A. & Zussmann, J., 1992- The rock forming minerals. Longman, London, 720 p.
- Dupre, B., Vires, J., Dandurand, J. L., Polve, M., Benezeth, P., Vervier, P. & Braun, J. J., 1999- Major and trace elements associated with colloids in organic-rich river waters: ultra-filtration of natural and spiked solutions. Chemical Geology 160, 63-80.
- Eftekhari-nezhad, J., 1973- Geology of the Mahabad Quadrangle. Geological survey of Iran.
- Gouveia, M. A., Prudencio, M. I., Figueiredo, M. O., Pereira, L. C. J., Waerenborgh, J. C., Morgado, I., Pena, T. & Lopes, A., 1993- Behaviour of REE and other trace and major elements during weathering of granitic rocks, Evora, Portugal. Chemical Geology 107, 293-296.
- Henderson, P., 1984- Rare earth element geochemistry. Elsevier, Amsterdam.
- Hudson, E. A., Terminello, L. J., Viani, B. E., Denecke, M., Reich, T. & Allen, P. G., 1999- The structure of U<sup>6+</sup> sorption complexes on vermiculite and hydrobiotite. Clays and Clay Minerals 47, 439-457.
- Kamini, D. C. & Eftekhari-nezhad, J., 1977- Mineralogy of the Permian laterite of NW Iran. Tschemaks Min. Petr. Mitt 24, 195-204.
- Karadag, M., Kupeli, S., Arik, F., Ayhan, A., Zedef, V. & Doyen, A., 2009- Rare earth element (REE) geochemistry and genetic implications of the Mortas bauxite deposit (Seydisehir/Konya-southern Turkey. Chemie der Erde-Geochemistry 69, 143-159.
- Koppi, A. J., Edis, R., Foeld, D. J., Geering, H. R., Klessa, D. A., Cockayne, D. J. H., 1996- REEs trends and Ce-U-Mn associations in weathered rock from Koongarra, northern territory, Australia, Geochimica et Cosmochimica Acta 60, 1695-1707.
- Laskou, M. & Economou-Eliopoulos, M., 2007- The role of microorganisms on the mineralogical and geochemical characteristics of the Parnassos-Ghiona bauxite deposits, Greece. Journal of Geochemical Exploration 93, 67-77.

- Mameli, P., Mongelli, G., Oggiano, G. & Dinelli, E., 2007- Geological, geochemical and mineralogical features of some bauxite deposits from Nurra (western Sardinia, Italy): insights on conditions of formation and parental affinity. *International Journal of Earth Sciences* 96, 887-902.
- Marques, J. J., Schulze, D. G., Curi, N., Mertzman, S. A., 2004- Trace element geochemistry in Brazilian Cerrado soils. *Geoderma* 121, 31-43.
- Muggler, C. C., 1998- Polygenetic oxisols on Tertiary surfaces, Minas Gerais Brazil. Ph.D thesis. Wageningen University, Netherlands.
- Murakami, T., Ohnuki, T., Isobe, H. & Sato, T., 1997- Mobility of Uranium during weathering. *American Mineralogist* 82, 888-899.
- Nesbitt, H. W. & Markovics, G., 1997- Weathering of granodioritic crust, long-term storage of elements in weathering profiles and petrogenesis of siliciclastic sediments. *Geochimica et Cosmochimica Acta* 61, 1653-1670.
- Patino, L. C., Velbel, M. A., Price, J. R. & Wade, J. A., 2003- Trace element mobility during spheroidal weathering of basalts and andesites in Hawaii and Guatemala. *Chemical Geology* 202, 343-364.
- Plank, T. & Langmuir, C. H., 1988- The chemical composition of subducting sediment and its consequences for the crust and mantle. *Chemical Geology* 145, 325-394.
- Schwertmann, U. & Pfab, G., 1996- Structural V and Cr in lateritic iron oxides: genetic implications. *Geochimica et Cosmochimica Acta* 60, 4279-4283.
- Sparks, D. L., 1995- Environmental soil chemistry. Academic Press, New York, 267p.
- Taboada, T., Cortizas, A. M., Garcia, C. & Garcia-Rodeja, E., 2006- U and Th in weathering and pedogenetic profiles developed on granitic rocks from NW Spain. *Science of the Total Environmental* 356, 192-206.
- Van Der Weijden, C. H. & Van Der Weijden, R. D., 1995- Mobility of major and some redox-sensitive trace element and rare-earth elements during weathering of four granitoids in central Portugal. *Chemical Geology* 125, 149-167.
- Viers, J., Dupre, B., Braun, J. J., Deberdt, S., Angeletti, B., Ngoupayou, J. N. & Michard, A., 2000- Major and trace element abundance, and strontium isotopes in the Nyong basin rivers (Cameroon): constraints on chemical weathering processes and elements transport mechanisms in humid tropical environments. *Chemical Geology* 169, 211-241.
- Wimpenny, J., Gannoun, A., Burton, K. W., Widdowson, M., Jamed, R. H., Gilason, S. R., 2007- Rhenium and Osmium isotope and elemental behaviour of India. *Earth and Planetary Science Letters* 261, 239-258.